

## II-4 曲線箱桁橋の立體的応力解析

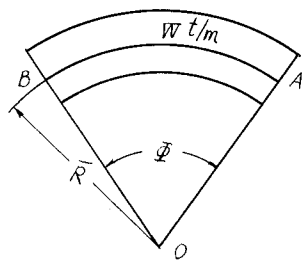
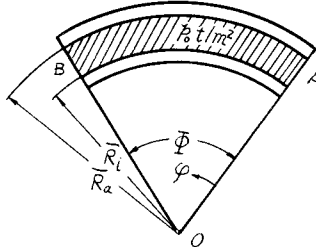
京都大学工学部 正員 工博 小西一郎  
大阪市立大学工学部 正員 ○小松定夫

曲線桁橋についての従来の研究においては、直線桁の理論を踏襲し、曲線桁の基本的特性が十分に考慮されていないようと思われる。本報告では、この点に留意し、一般薄肉用断面を有する曲線桁橋の応力及びタフミの解をえたものである。

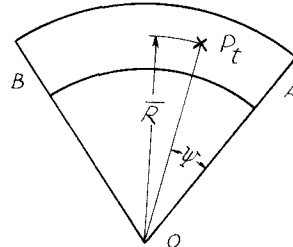
### 1. 曲げによる垂直応力 $\sigma_b$

$$\sigma_b = \frac{M_b Z}{I_y P}, \quad I_y = R \int \frac{Z^2 t}{P n} ds, \quad n: ヤング係数比 \quad I_y: 中立軸に関する鋼換算の断面2次モーメント, \quad Z: 中立軸から断面内の点までの距離 \quad R: 橋軸の曲率半径 \\ P: 曲率中心Oから断面内の点までの水平距離 \quad t: 薄肉の厚さ \quad s: 薄肉に沿う曲線座標$$

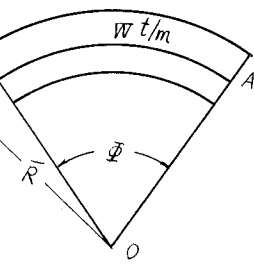
(A) 等分布荷重



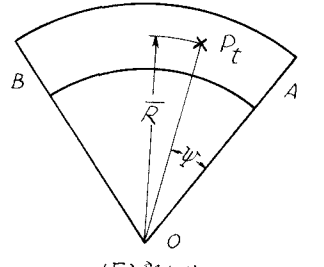
(D) 集中荷重



(B) 軸方向線荷重



(E) 部分等分布荷重



中立軸の位置は、次式で計算される。  

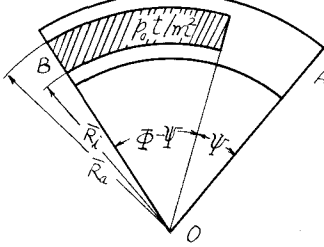
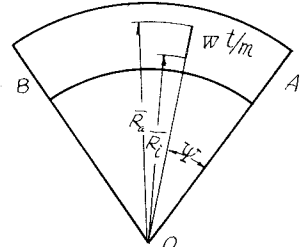
$$\int \frac{Z t}{P n} ds = 0$$

そして任意断面  $\varphi$  における  
断面力、応力、タフミ、捩り角が図  
A～E の荷重状態について得  
られた。特に3つの荷重状態  
については、次のようである。

曲げモーメント  $M_b$  は、

$$A. M_b = P_0 L_1 \left[ \frac{\sin \varphi + \sin(\Phi - \varphi)}{\sin \Phi} - 1 \right], \quad L_1 = \frac{1}{3} (\bar{R}_a^3 - \bar{R}_i^3)$$

$$D. M_b = P \bar{R} \frac{\sin \varphi}{\sin \Phi} \sin(\Phi - \Psi) \quad 0 \leq \varphi \leq \Psi, \quad M_b = P \bar{R} \frac{\sin \Psi}{\sin \Phi} \sin(\Phi - \varphi) \quad \Psi \leq \varphi \leq \Phi$$



F. 曲げモーメント  $M_A$ ,  $M_B$  及び曲捩りモーメント  $M_\psi$  がそれ各自両端 A, B に作用する場合

$$M_b = M_A \frac{\sin(\Phi - \varphi)}{\sin \Phi} + M_B \frac{\sin \varphi}{\sin \Phi}$$

### 2. 曲げ捩りによる垂直応力 $\sigma_w$

$$\sigma_w = \frac{M_w W_s}{n C_w}, \quad C_w = \frac{1}{R} \int_P W_s^2 \frac{t}{n} ds, \quad E_s C_w: 曲げ捩り剛性, \quad W_s: そり因数$$

$$W_s = \int_0^s \frac{R^3 n_2}{P^3 t} \tilde{f} ds - \int_0^s \frac{R^2}{P^2} \tilde{\chi}_s ds + W_0, \quad \tilde{f}: 捣り因数, \quad n_2: ゼン断弾性係数比$$

$n_2$ : 捣り中心から薄肉中心線の切線に至る距離

$m$ 個の小室からなる閉断面の場合、第 $k$ 室の挿り因数  $\tilde{\eta}_k$  は次の連立方程式で決定される。

$$-\sum_{k=1}^m \int \frac{R_{k+1}^2 \eta_k}{\rho^3 t} ds + \sum_{k=1}^m \oint \frac{R_k^2 \eta_k}{\rho^3 t} ds - \sum_{k=1}^m \int \frac{R_{k+1}^2 \eta_k}{\rho^3 t} ds = R \oint \frac{\eta_k}{\rho^2} ds \quad (k=1, 2, \dots, m)$$

曲げ挿りモーメント  $M_w$  は次のようである。  $\mathcal{L}_2 = \frac{R_o}{2} (\bar{R}_a^2 - \bar{R}_c^2)$ ,  $\mathcal{L}_3 = R_o^2 (\bar{R}_a - \bar{R}_c) \approx 0$ ,

$$A. M_w = P_o R \left\{ \left( \frac{\mathcal{L}_2}{\alpha^2} - \frac{\mathcal{L}_1}{\alpha^2+1} \right) \frac{\sinh \alpha \varphi + \sinh \alpha (\Phi - \Psi)}{\sinh \alpha \Phi} + \frac{\mathcal{L}_1}{\alpha^2+1} \frac{\sin \varphi + \sin(\Phi - \Psi)}{\sin \Phi} - \frac{\mathcal{L}_2}{\alpha^2} \right\}$$

$$D. M_w = PR \left\{ \left( \frac{\bar{R}}{\alpha^2+1} - \frac{R_o}{\alpha^2} \right) \alpha \frac{\sinh \alpha (\Phi - \Psi)}{\sinh \alpha \Phi} \sinh \alpha \varphi + \frac{\bar{R}}{\alpha^2+1} \frac{\sin(\Phi - \Psi)}{\sin \Phi} \sin \varphi \right\} \quad 0 \leq \varphi \leq \psi \\ = PR \left\{ \left( \frac{\bar{R}}{\alpha^2+1} - \frac{R_o}{\alpha^2} \right) \alpha \frac{\sinh \alpha (\Phi - \Psi)}{\sinh \alpha \Phi} \sinh \alpha \psi + \frac{\bar{R}}{\alpha^2+1} \frac{\sin(\Phi - \Psi)}{\sin \Phi} \sin \psi \right\} \quad \psi \leq \varphi \leq \Phi$$

$$F. M_w = M_A \frac{\sinh \alpha (\Phi - \Psi)}{\sinh \alpha \Phi} + M_B \frac{\sinh \alpha \varphi}{\sinh \alpha \Phi} \\ + \frac{R}{\alpha^2+1} \left\{ M_A \left[ \frac{\sin(\Phi - \Psi)}{\sin \Phi} - \frac{\sinh \alpha (\Phi - \Psi)}{\sinh \alpha \Phi} \right] + M_B \left( \frac{\sin \varphi}{\sin \Phi} - \frac{\sinh \alpha \varphi}{\sinh \alpha \Phi} \right) \right\}$$

3. 曲げによるせん断応力  $\tau_b$

$$\tau_b = - \frac{\tilde{\eta}_b}{I_y t R} \frac{dM_b}{d\varphi}, \quad \tilde{\eta}_b = \frac{1}{\rho^2} \left( R^2 \int_0^s Z \frac{t}{n} ds + S_b \right)$$

不静定せん断流の項  $S_b$  は、次の方程式で決まる。  $\tilde{\eta}_b = R^2 \int_0^s Z \frac{t}{n} ds \approx 0$ ,

$$- \sum_{k=k-1}^{k=k-1} \int \frac{\eta_k}{\rho^3 t} ds + \sum_{k=k}^k \oint \frac{\eta_k}{\rho^3 t} ds - \sum_{k=k+1}^{k=k+1} \int \frac{\eta_k}{\rho^3 t} ds = - \oint \frac{\tilde{\eta}_b}{\rho^3 t} \eta_k ds, \quad (k=1, 2, \dots, m)$$

4. 単純挿りによるせん断応力  $\tau_{sh}$   $J = \sum_k \tilde{\eta}_k R_k^2 \oint \frac{\eta_k}{\rho^2} ds \approx 0$ ,

$$A. \tau_{sh} = \frac{R_o^2 \tilde{\eta}_k P_o}{\rho^2 t J} \left\{ \left( \frac{\mathcal{L}_1}{\alpha^2+1} - \frac{\mathcal{L}_2}{\alpha^2} \right) \alpha \frac{\cosh \alpha (\Phi - \Psi) - \cosh \alpha \varphi}{\sinh \alpha \Phi} + \frac{\mathcal{L}_1 \alpha^2}{\alpha^2+1} \frac{\cos(\Phi - \Psi) - \cos \varphi}{\sin \Phi} + \mathcal{L}_2 \left( \frac{\Phi - \Psi}{2} \right) \right\}$$

$$D. \tau_{sh} = \frac{R_k^2 \tilde{\eta}_k P}{\rho^2 t J} \left\{ \left( \frac{\bar{R}}{\alpha^2+1} - \frac{R_o}{\alpha^2} \right) \alpha^2 \frac{\sinh \alpha (\Phi - \Psi)}{\sinh \alpha \Phi} \cosh \alpha \varphi - \frac{\bar{R} \alpha^2}{\alpha^2+1} \frac{\sin(\Phi - \Psi)}{\sin \Phi} \cos \varphi + R_o \frac{\Phi - \Psi}{\alpha^2+1} \right\} \\ = \frac{R_k^2 \tilde{\eta}_k P}{\rho^2 t J} \left\{ - \left( \frac{\bar{R}}{\alpha^2+1} - \frac{R_o}{\alpha^2} \right) \alpha^2 \frac{\cosh \alpha (\Phi - \Psi)}{\sinh \alpha \Phi} \sinh \alpha \psi + \frac{\bar{R} \alpha^2}{\alpha^2+1} \frac{\cos(\Phi - \Psi)}{\sin \Phi} \sin \psi - R_o \frac{\psi}{\alpha^2+1} \right\}$$

$$F. \tau_{sh} = \frac{R_k^2 \tilde{\eta}_k}{J^2 R t J} \left\{ \alpha \left[ M_B \frac{\cosh \alpha \varphi}{\sinh \alpha \Phi} - M_A \frac{\cosh \alpha (\Phi - \Psi)}{\sinh \alpha \Phi} \right] - \frac{R}{\alpha^2+1} \left[ M_B \left( \alpha^2 \frac{\cos \varphi}{\sin \Phi} + \alpha \frac{\cosh \alpha \varphi}{\sinh \alpha \Phi} \right) \right. \right. \\ \left. \left. - M_A \left( \alpha^2 \frac{\cos(\Phi - \Psi)}{\sin \Phi} + \alpha \frac{\cosh \alpha (\Phi - \Psi)}{\sinh \alpha \Phi} \right) \right] + \frac{1}{\Phi} \left[ M_A - M_B + R (M_B - M_A) \right] \right\}$$

$$\therefore \text{は } \alpha = \sqrt{\frac{G_o}{E_o C_w}} \cdot R$$

5. 2次せん断応力  $\tau_w$

$$\tau_w^* = - \frac{\tilde{\eta}_w^*}{C_w t R} \frac{dM_w}{d\varphi}, \quad \tilde{\eta}_w^* = \frac{1}{\rho^2} \left( R \int_0^s W_s f \frac{t}{n} ds + S_w \right)$$

不静定せん断流の項  $S_w$  は、 $\oint \frac{\tilde{\eta}_w^* \eta_s}{\rho^3 t} ds = 0$  なる条件によって定まる。

基礎理論並びにタワミ、挿り角、挿りモーメントなどの解については、講演当日に報告する予定である。なお本文のすべての公式において、 $R, R_o, \rho$  などの量を、特に無限大とすれば、直線箱形橋の場合の諸公式と一致することを、容易に示しうる。